



Parallelisierung des Wellenfrontrekonstruktionsalgorithmus auf Multicore-Prozessoren

Jonas Schenke

12. April 2017

Betreuender HSL: Prof. Dr. Wolfgang E. Nagel

Betreuer: Dr. Elena-Ruxandra Cojocaru, Dr. Michael Bussmann,
Matthias Werner

E-Mail: jonas.schenke@tu-dresden.de

- Evaluierung und Performance-Analyse des derzeit fast durchgängig seriellen Wellenfrontrekonstruktionsalgorithmus
- Parallelisierung der kritischen Pfade für Mehrkernarchitekturen
- Performance-Messungen der parallelen Implementation
- Auswertung sowie Validierung der Ergebnisse

- 1 Hinweise
- 2 Evaluierung des Wellenfrontrekonstruktionsalgorithmus
- 3 Performance-Analyse des derzeit fast durchgängig seriellen Codes
- 4 Parallelisierung der kritischen Abschnitte
- 5 Parallelisierung der kritischen Pfade für Vielkernarchitekturen
- 6 Stand der Arbeit

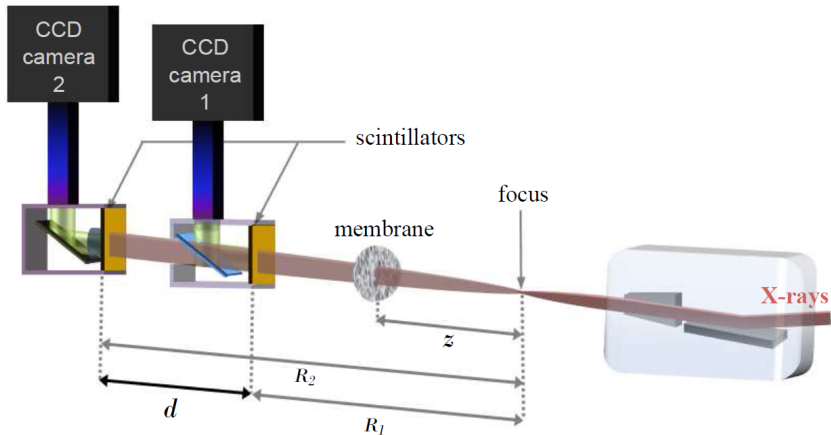
- 1 Hinweise
- 2 Evaluierung des Wellenfrontrekonstruktionsalgorithmus
- 3 Performance-Analyse des derzeit fast durchgängig seriellen Codes
- 4 Parallelisierung der kritischen Abschnitte
- 5 Parallelisierung der kritischen Pfade für Vielkernarchitekturen
- 6 Stand der Arbeit

- Teil des **E**uropean **C**luster of **A**dvanced **L**aser **L**ight **S**ources (EUCALL)-Projektes → Überschneidung von **U**ltrafast **D**ata **A**cquisition (UFDAC; WP5) und **P**ulse **C**haracterisation and **C**ontrol (PUCCA; WP7)
- Zusammenarbeit des **H**elmholtz-**Z**entrum **D**resden-**R**ossendorf e.V. (HZDR) und **E**uropean **S**ynchrotron **R**adiation **F**acility (ESRF)
- **Algorithmus:** Sébastien Bérupon
- **Code:** Elena-Ruxandra Cojocaru
- **Daten:** Beamline BM05, ESRF, Grenoble, Frankreich

	Experiment 6	Lenses
Aufnahmedatum	Ruxandra Cojocaru, Sébastien Bérupon, Eric Ziegler	Thomas Rothand, Raymond Barrett, Sébastien Bérupon, Rafael Celeste
Aufgenommen von	24. September 2017	10. April 2017

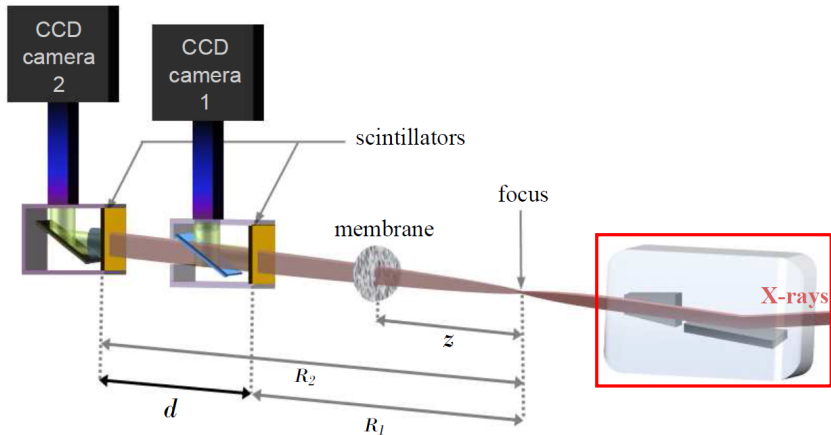
- 1 Hinweise
- 2 Evaluierung des Wellenfrontrekonstruktionsalgorithmus**
- 3 Performance-Analyse des derzeit fast durchgängig seriellen Codes
- 4 Parallelisierung der kritischen Abschnitte
- 5 Parallelisierung der kritischen Pfade für Vielkernarchitekturen
- 6 Stand der Arbeit

Versuchsaufbau



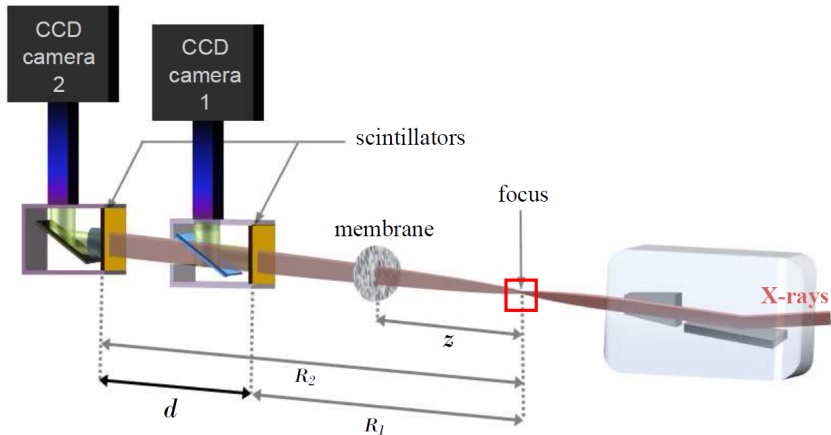
"X-ray pulse wavefront metrology using speckle tracking", Bérújon, Ziegler und Cloetens 2015, *Journal of Synchrotron Radiation*

Versuchsaufbau



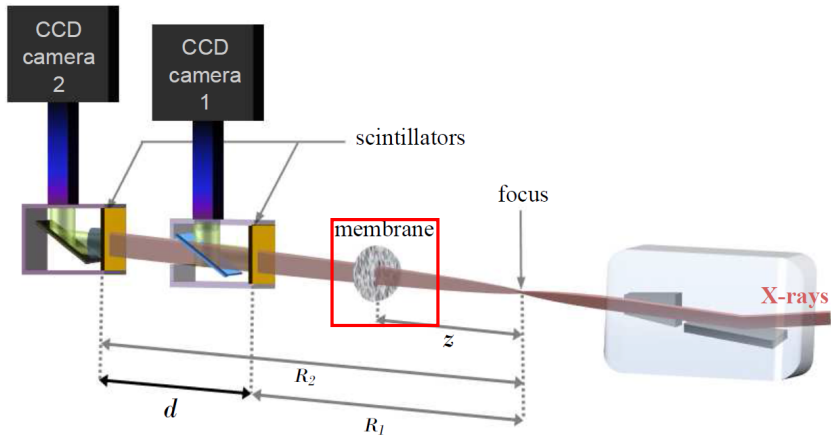
"X-ray pulse wavefront metrology using speckle tracking", Bérújon, Ziegler und Cloetens 2015, *Journal of Synchrotron Radiation*

Versuchsaufbau



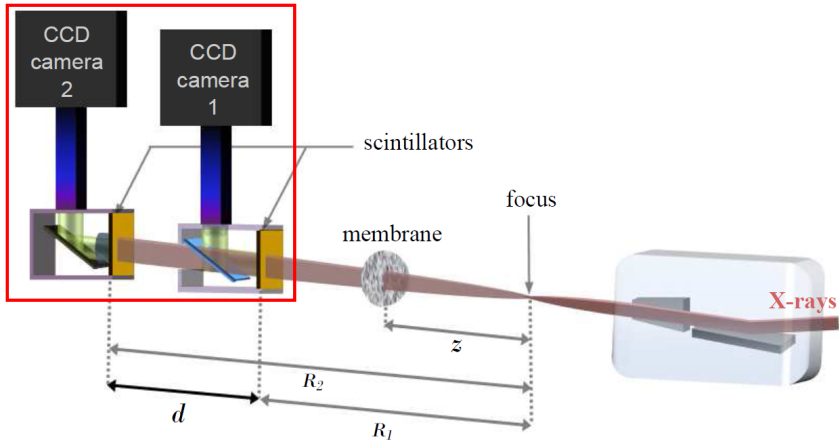
"X-ray pulse wavefront metrology using speckle tracking", Bérújon, Ziegler und Cloetens 2015, *Journal of Synchrotron Radiation*

Versuchsaufbau



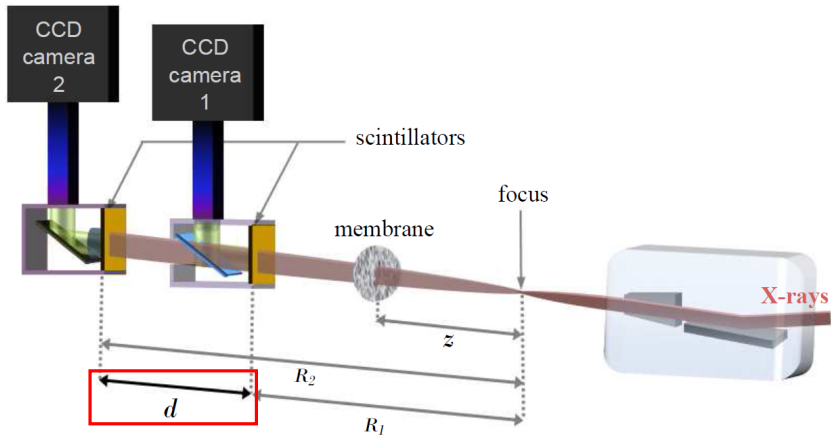
"X-ray pulse wavefront metrology using speckle tracking", Bérújon, Ziegler und Cloetens 2015, *Journal of Synchrotron Radiation*

Versuchsaufbau



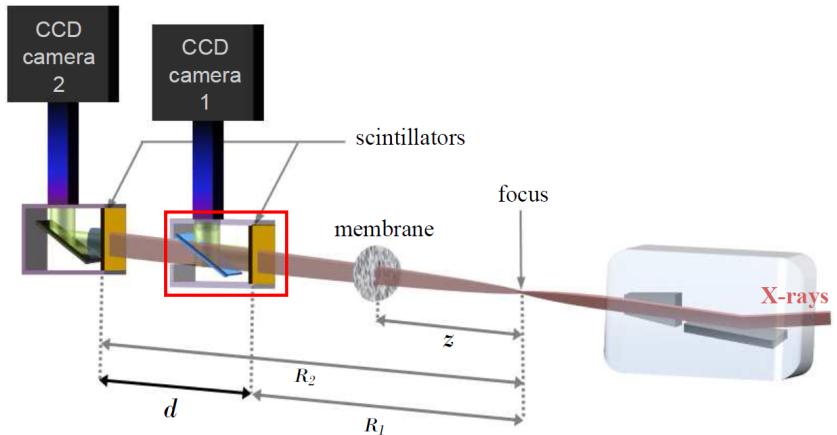
"X-ray pulse wavefront metrology using speckle tracking", Bérújon, Ziegler und Cloetens 2015, *Journal of Synchrotron Radiation*

Versuchsaufbau



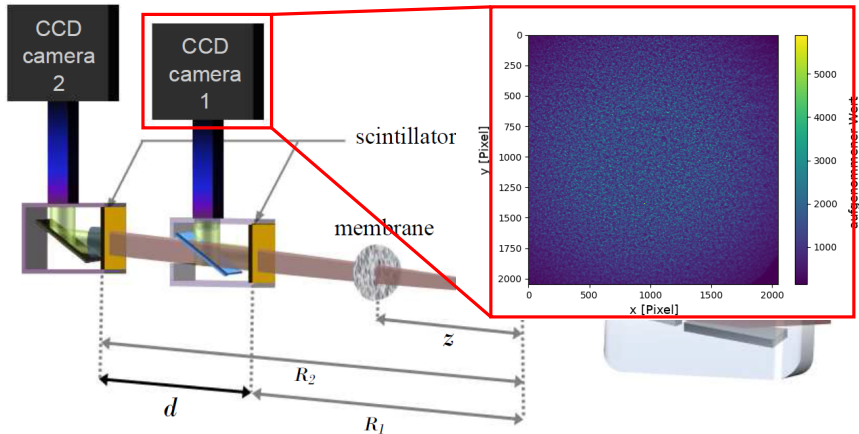
"X-ray pulse wavefront metrology using speckle tracking", Bérújon, Ziegler und Cloetens 2015, *Journal of Synchrotron Radiation*

Versuchsaufbau



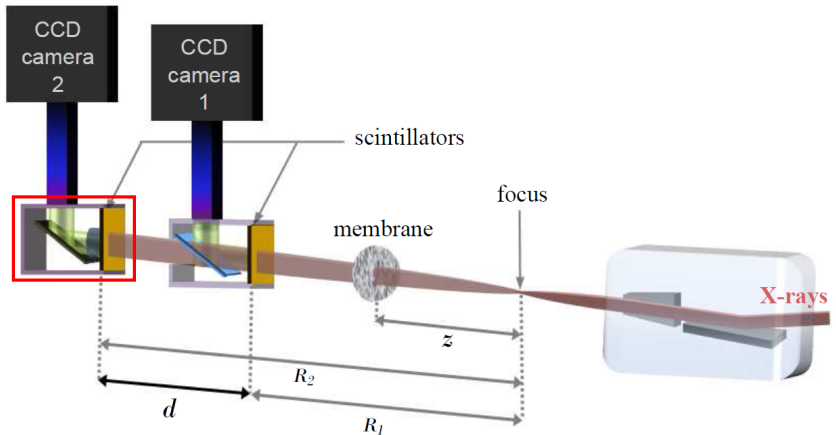
"X-ray pulse wavefront metrology using speckle tracking", Bérújon, Ziegler und Cloetens 2015, *Journal of Synchrotron Radiation*

Versuchsaufbau



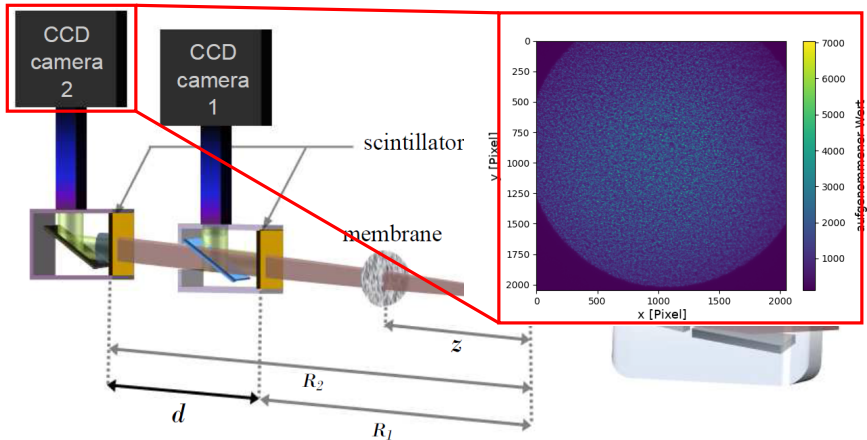
"X-ray pulse wavefront metrology using speckle tracking", Bérújon, Ziegler und Cloetens 2015, *Journal of Synchrotron Radiation*

Versuchsaufbau



"X-ray pulse wavefront metrology using speckle tracking", Bérújon, Ziegler und Cloetens 2015, *Journal of Synchrotron Radiation*

Versuchsaufbau



"X-ray pulse wavefront metrology using speckle tracking", Bérújon, Ziegler und Cloetens 2015, *Journal of Synchrotron Radiation*

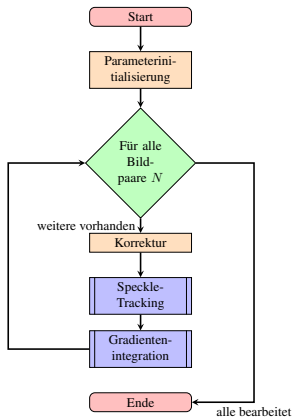
Zwei Phasen:

- Initialisierungsphase
 - Ermitteln des Kamerafehlers
 - Bestimmen Ablenkung in verschiedenen Positionen
⇒ Grundlage für Hauptroutine
- Hauptroutine
 - Korrigieren von Kamerafehlern (→ mit Ausgabe der Initialisierung)
 - Ablenkung nachverfolgen
 - Wellenfront rekonstruieren

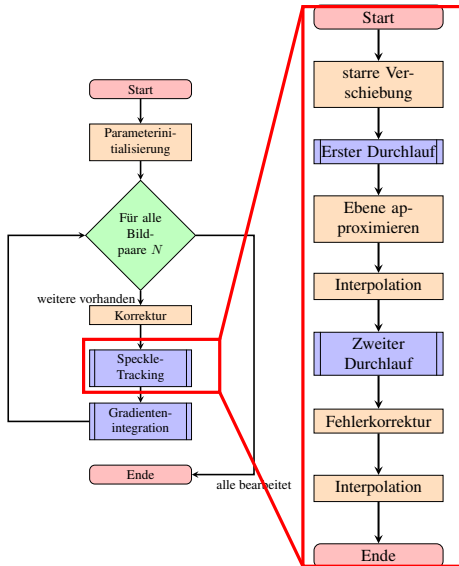
Zwei Phasen:

- Initialisierungsphase
 - Ermitteln des Kamerafehlers
 - Bestimmen Ablenkung in verschiedenen Positionen
⇒ Grundlage für Hauptroutine
- Hauptroutine
 - Korrigieren von Kamerafehlern (→ mit Ausgabe der Initialisierung)
 - Ablenkung nachverfolgen
 - Wellenfront rekonstruieren

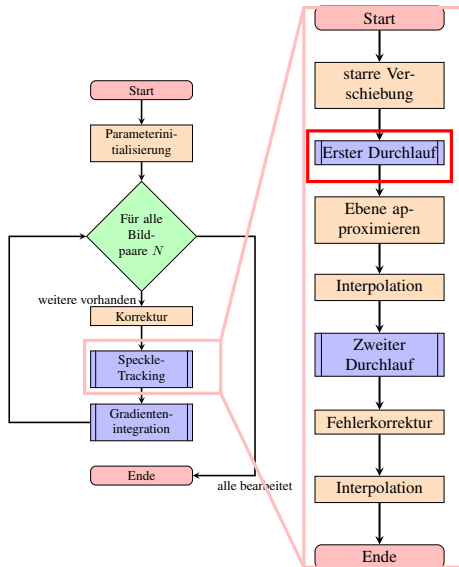
Hauptroutine



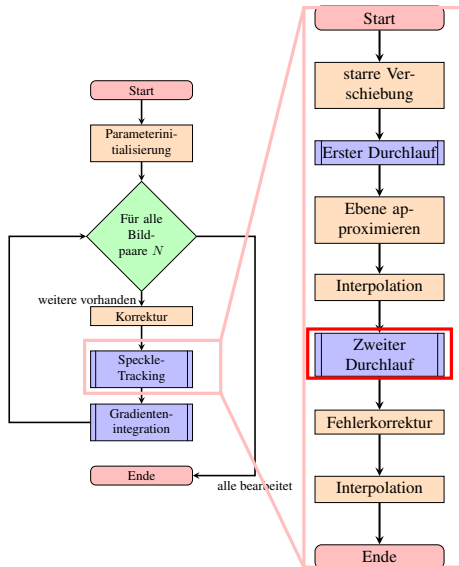
Hauptroutine

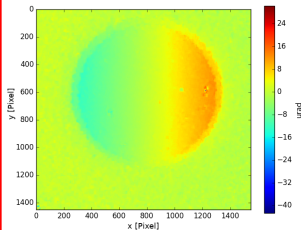
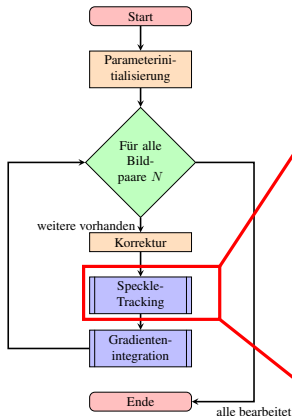


Hauptroutine

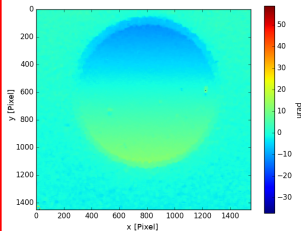


Hauptroutine



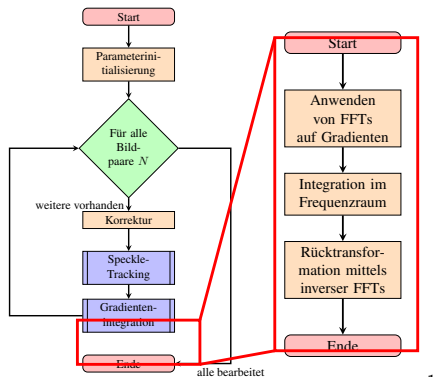


Horizontaler Gradient



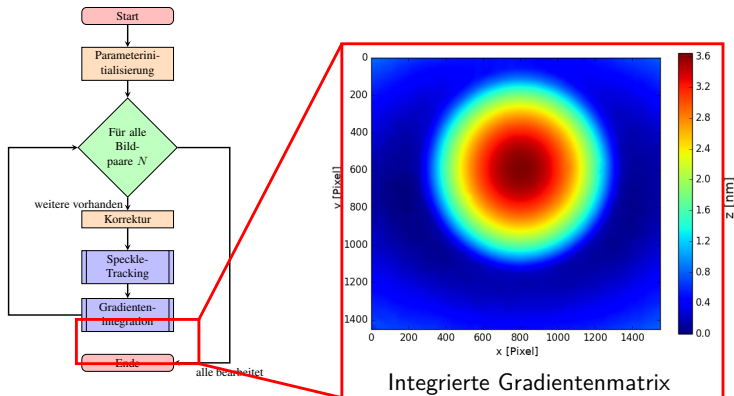
Vertikaler Gradient

Hauptroutine



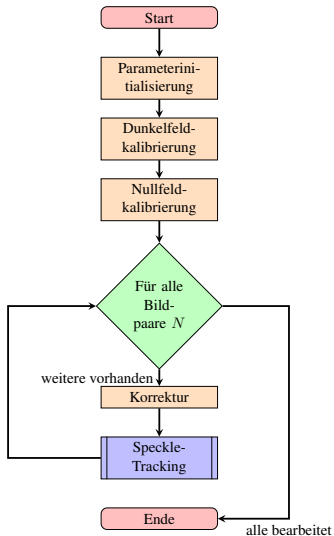
1

¹"A method for enforcing integrability in shape from shading algorithms", Frankot und Chellappa 1988, *IEEE Transactions on Pattern Analysis and Machine Intelligence*



¹“A method for enforcing integrability in shape from shading algorithms”, Frankot und Chellappa 1988, *IEEE Transactions on Pattern Analysis and Machine Intelligence*

Initialisierung



- 1 Hinweise
- 2 Evaluierung des Wellenfrontrekonstruktionsalgorithmus
- 3 Performance-Analyse des derzeit fast durchgängig seriellen Codes**
- 4 Parallelisierung der kritischen Abschnitte
- 5 Parallelisierung der kritischen Pfade für Vielkernarchitekturen
- 6 Stand der Arbeit

Initialisierung:

- Detector Distortion
 - ROI Größe: 1848x1848
 - Gitterauflösung: 4
 - Korrelationsgröße: 41

Hauptroutine:

- Experiment 6
 - ROI Größe: 1450x1450 (Bild), 550x550 (Template)
 - Gitterauflösung: 1
 - Korrelationsgröße: 91
 - unterschiedliche Pixelgröße
- Lenses
 - ROI Größe: 1450x1550 (Bild), 1450x1550 (Template)
 - Gitterauflösung: 1
 - Korrelationsgröße: 41
 - gleiche Pixelgröße

Initialisierung:

- Detector Distortion
 - ROI Größe: 1848x1848
 - Gitterauflösung: 4
 - Korrelationsgröße: 41

Hauptroutine:

- Experiment 6
 - ROI Größe: 1450x1450 (Bild), 550x550 (Template)
 - Gitterauflösung: 1
 - Korrelationsgröße: 91
 - unterschiedliche Pixelgröße
- Lenses
 - ROI Größe: 1450x1550 (Bild), 1450x1550 (Template)
 - Gitterauflösung: 1
 - Korrelationsgröße: 41
 - gleiche Pixelgröße

Initialisierung:

- Detector Distortion
 - ROI Größe: 1848x1848
 - Gitterauflösung: 4
 - Korrelationsgröße: 41

Hauptroutine:

- Experiment 6
 - ROI Größe: 1450x1450 (Bild), 550x550 (Template)
 - Gitterauflösung: 1
 - Korrelationsgröße: 91
 - unterschiedliche Pixelgröße
- Lenses
 - ROI Größe: 1450x1550 (Bild), 1450x1550 (Template)
 - Gitterauflösung: 1
 - Korrelationsgröße: 41
 - gleiche Pixelgröße

Initialisierung:

- Detector Distortion
 - ROI Größe: 1848x1848
 - Gitterauflösung: 4
 - Korrelationsgröße: 41

Hauptroutine:

- Experiment 6
 - ROI Größe: 1450x1450 (Bild), 550x550 (Template)
 - Gitterauflösung: 1
 - Korrelationsgröße: 91
 - unterschiedliche Pixelgröße
- Lenses
 - ROI Größe: 1450x1550 (Bild), 1450x1550 (Template)
 - Gitterauflösung: 1
 - Korrelationsgröße: 41
 - gleiche Pixelgröße

Python 2.7, 2x Intel(R) Xeon(R) E5-2680 v3 (12 Kerne) @ 2.50GHz, kein MultiThreading

Python 2.7, 2x Intel(R) Xeon(R) E5-2680 v3 (12 Kerne) @ 2.50GHz, kein MultiThreading

Python 2.7, 2x Intel(R) Xeon(R) E5-2680 v3 (12 Kerne) @ 2.50GHz, kein MultiThreading

⇒ über 95%

- 1 Hinweise
- 2 Evaluierung des Wellenfrontrekonstruktionsalgorithmus
- 3 Performance-Analyse des derzeit fast durchgängig seriellen Codes
- 4 Parallelisierung der kritischen Abschnitte**
- 5 Parallelisierung der kritischen Pfade für Vielkernarchitekturen
- 6 Stand der Arbeit

content...

Innerhalb der Verarbeitung einzelner Bildpaare

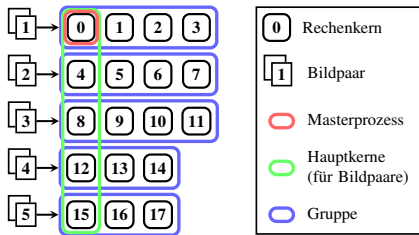


Abbildung: Verteilung von fünf Bildpaaren auf 18 Rechenknoten

Nutzen bereits optimierter Funktionen I

content...

asdf

asdf

asdf

- 1 Hinweise
- 2 Evaluierung des Wellenfrontrekonstruktionsalgorithmus
- 3 Performance-Analyse des derzeit fast durchgängig seriellen Codes
- 4 Parallelisierung der kritischen Abschnitte
- 5 Parallelisierung der kritischen Pfade für Vielkernarchitekturen**
- 6 Stand der Arbeit

is doch eh alles falsch

- Kompilieren **aber:** meist kein Speedup
- Parallelisierung **trivial möglich**
- Optimieren einzelner kritischer Pfade
→ C/C++ Portierung, optimierte Bibliotheken (numpy, numba, etc.), ...

is doch eh alles falsch

- Kompilieren **aber:** meist kein Speedup
- Parallelisierung *trivial möglich*
- Optimieren einzelner kritischer Pfade
→ C/C++ Portierung, optimierte Bibliotheken (numpy, numba, etc.), ...

is doch eh alles falsch

- Kompilieren **aber:** meist kein Speedup
- Parallelisierung **trivial möglich**
- Optimieren einzelner kritischer Pfade
→ C/C++ Portierung, optimierte Bibliotheken (numpy, numba, etc.), ...

is doch eh alles falsch

- Kompilieren **aber:** meist kein Speedup
- Parallelisierung **trivial möglich**
- Optimieren einzelner kritischer Pfade
→ C/C++ Portierung, optimierte Bibliotheken (numpy, numba, etc.), ...

is doch eh alles falsch

- Kompilieren **aber:** meist kein Speedup
- Parallelisierung **trivial möglich**
- Optimieren einzelner kritischer Pfade
→ C/C++ Portierung, optimierte Bibliotheken (numpy, numba, etc.), ...

- 1 Hinweise
- 2 Evaluierung des Wellenfrontrekonstruktionsalgorithmus
- 3 Performance-Analyse des derzeit fast durchgängig seriellen Codes
- 4 Parallelisierung der kritischen Abschnitte
- 5 Parallelisierung der kritischen Pfade für Vielkernarchitekturen
- 6 Stand der Arbeit

is doch eh alles falsch **Bereits erledigt:**

- Evaluierung
- Performance-Analyse
- Kompilieren

In Bearbeitung:

- Parallelisieren
- Optimieren von reinem Python-Code

is doch eh alles falsch **Bereits erledigt:**

- Evaluierung
- Performance-Analyse
- Kompilieren

In Bearbeitung:

- Parallelisieren
- Optimieren von reinem Python-Code

Noch geplant:

- Optimierung kritischer Pfade
 - vermehrte Verwendung optimierter Bibliotheken
 - C/C++ Portierung einzelner Funktionen
- Validierung der parallelen Implementierung
- Performance-Messung der parallelen Implementierung

- Bugs in Referenzimplementierung
- Python Multithreading
 - viele Profiler für Python, wenige mit Multithreading-Support
 - Forken der kompletten Python-Umgebung nötig
- schlechte Kompilierergebnisse

- Bugs in Referenzimplementierung
- Python Multithreading
 - viele Profiler für Python, wenige mit Multithreading-Support
 - Forken der kompletten Python-Umgebung nötig
- schlechte Kompilierergebnisse

- Bugs in Referenzimplementierung
- Python Multithreading
 - viele Profiler für Python, wenige mit Multithreading-Support
 - Forken der kompletten Python-Umgebung nötig
- schlechte Kompilierergebnisse

- Bugs in Referenzimplementierung
- Python Multithreading
 - viele Profiler für Python, wenige mit Multithreading-Support
 - Forken der kompletten Python-Umgebung nötig
- schlechte Kompilierergebnisse

- Bugs in Referenzimplementierung
- Python Multithreading
 - viele Profiler für Python, wenige mit Multithreading-Support
 - Forken der kompletten Python-Umgebung nötig
- schlechte Kompilierergebnisse



Bérupon, Sébastien (2013). "Métrologie en ligne de faisceaux et d'optiques X de synchrotrons". Thèse de doctorat dirigée par Ziegler, Eric et Sawhney, Kawal Physique Grenoble 2013. Diss. Université de Grenoble. URL: <http://www.theses.fr/2013GRENY010>.



Bérupon, Sébastien, Eric Ziegler, Roberto Cerbino u. a. (Apr. 2012). "Two-Dimensional X-Ray Beam Phase Sensing". In: *Phys. Rev. Lett.* 108 (15), S. 158102. DOI: 10.1103/PhysRevLett.108.158102. URL: <https://link.aps.org/doi/10.1103/PhysRevLett.108.158102>.



Bérupon, Sébastien, Eric Ziegler und Peter Cloetens (2015). "X-ray pulse wavefront metrology using speckle tracking". In: *Journal of Synchrotron Radiation* 22.4, S. 886–894. ISSN: 1600-5775. DOI: 10.1107/S1600577515005433. URL: <http://dx.doi.org/10.1107/S1600577515005433>.



Frankot, R. T. und R. Chellappa (Juli 1988). "A method for enforcing integrability in shape from shading algorithms". In: *IEEE Transactions on Pattern Analysis and Machine Intelligence* 10.4, S. 439–451. ISSN: 0162-8828. DOI: 10.1109/34.3909.